



بررسی فرایند جریان هوای داخل و مدل‌های تحلیلی آن در سوله‌های صنعتی کوچک با روش CFD

امید رهایی^۱

تاریخ دریافت: ۹۳/۰۳/۰۹

تاریخ پذیرش: ۹۳/۰۸/۲۵

چکیده: انباست آلینده‌های هوابرد در فضای داخلی اکثر سوله‌ها و عدم تخلیه مؤثر هوای آلووده از فضای داخل کارگاه‌های صنعتی، مسئله‌ای اساسی برای سلامت کارکنان این کارگاه‌هاست. این درحالی است که استانداردهای متعددی وجود دارند که بر لزوم تهویه صنعتی مؤثر تأکید فراوان دارند. به هر حال ناکارایی سیستم‌های تهویه صنعتی عمومی در سوله‌های صنعتی کاملاً محسوس است و این درحالی است که محاسبات دقیقی از سوی مهندسین مکانیک برای پیش‌بینی مکنده‌های مؤثر تهویه در فضاهای صنعتی صورت می‌گیرد. این پژوهش به بررسی وضعیت جریان هوای داخل در ساختمان‌های صنعتی می‌پردازد و تلاش می‌کند تا از طریق شبیه سازی‌های عددی با روش دینامیک سیال محاسباتی علت اصلی ناکارایی سیستم‌های مکنده تهویه که عمدتاً سقفی هستند را بیابد. این شبیه سازی‌ها در يك سوله موردنی صورت می‌گیرد که مورد بررسی و مشاهده دقیق قرار گرفته است. شبیه سازی‌ها در این پژوهش توسط برنامه‌های Fluent و Gambit انجام شدند: ابتدا روابی برنامه با انجام پروژه‌های مشابه و نیز تطبیق با نتایج تجربی به اثبات رسید. سپس با يك روش تحلیلی و با کمک برنامه Fluent به تجزیه و تحلیل داده‌ها اقدام شد. در خاتمه نیز به ارائه نتایج و تعمیم آنها بر جامعه آماری اقدام گردید. نتایج نشان دادند که جریان هوای داخل تحت تأثیر متغیرهای مستقل معماری به همراه موقعیت بازشوها، دمندها و مکندها قرار داشته و تغییرات در شرایط این متغیرها می‌تواند جریان هوای داخل را اصلاح و خروج آلینده‌ها را امکان پذیر نماید.

واژگان کلیدی: سوله‌های صنعتی، تهویه صنعتی، جریان هوای داخل، مدل‌های تحلیلی.

^۱ استادیار، دانشکده معماری و شهرسازی، دانشگاه تربیت دبیر شهید رجایی، پست الکترونیکی: O.Rahaei@srttu.edu

1- مقدمه

این پژوهش به بررسی وضعیت جریان هوای داخل ساختمان‌های صنعتی می‌پردازد و تلاش می‌کند تا از طریق شبیه سازی‌های عددی با روش دینامیک سیال محاسباتی علت اصلی ناکارایی سیستم‌های مکنده تهویه که عمدتاً سقفی هستند را بیابد. این شبیه سازی‌ها در یک سوله موردنی صورت می‌گیرد که مورد بررسی و مشاهده دقیق قرار گرفته است. شبیه سازی‌ها در این پژوهش توسط برنامه‌های Fluent و Gambit انجام شدند: ابتدا روایی برنامه با انجام پروژه‌های مشابه و نیز تطبیق با نتایج تجربی به اثبات رسید. سپس با یک روش تحلیلی و با کمک برنامه Fluent به تجزیه و تحلیل داده‌ها اقدام شد. در خاتمه نیز به ارائه نتایج و تعمیم آنها بر جامعه آماری اقدام گردید. نتایج نشان دادند که جریان هوای داخل تحت تأثیر متغیرهای مستقل معماری به همراه موقعیت بازشوها، دمنده‌ها و مکنده‌ها قرار داشته و تغییرات در شرایط این متغیرها می‌تواند جریان هوای داخل را اصلاح و خروج آلاینده‌ها را امکان پذیر نماید. فعالیت‌های صنعتی مختلف در صنایع منجر به تولید ذرات معلق، بخارات و گازهایی در محیط کار می‌شوند. ضمناً تنفس‌های گرمایی نیز می‌تواند سبب نا ایمن شدن محیط کار شود. به منظور حفظ حد تماس شغلی در حد استاندارد از روش‌های تهویه صنعتی استفاده می‌شود. اساساً سیستم‌های تهویه به کار رفته در صنعت دو جنبه دارند: سیستم‌های مولد (دمنده) که هوای فراوری شده را تولید می‌کنند و سیستم‌های مکنده یا تخلیه که برای تخلیه آلاینده‌های تولید شده به منظور کنترل کیفیت هوای محیط کار در حد قابل قبول به کار می‌آیند.

یک برنامه کامل تهویه باید هر دو جنبه تولید و تخلیه هوای (هوادهی و هوکشی) را در نظر بگیرد. چنانچه حجم کل هوای تخلیه شده از یک محیط بیش از حجم هوای تزریق شده به آن باشد، کارگران با فشار هوایی کمتر از هوای بیرون مواجه خواهند شد. این شرایط معمولاً رخ می‌دهد، زیرا به هنگام نصب سیستم‌های مکنده به تأمین هوای جایگزین توجه نمی‌شود. در این شرایط هوای طور کنترل نشده از روزنه‌ها، سوراخ‌ها،

1-1- مروری بر ادبیات موضوع

در سه دهه گذشته مطالعات تجربی متعددی بر جریان جابه‌جایی طبیعی انجام شده است. جریان جابه‌جایی طبیعی و آشفته در محفظه اولین بار توسط الدر (Elder, J.W., 1965: 99-111) و پس از آن توسط Giel, P. W., and Schmidt, F. (W., 1986: 1459-64) بررسی گردید. در این آزمایش‌ها از آب به جای هوای استفاده شد. چیزی است

حفره‌ها، درها و پنجه‌های باز وارد محیط کار خواهد شد که معمولاً مشکلات زیادی در پی خواهد داشت. مطالعات نشان می‌دهد در بیشتر موارد غلط اآلینده‌های هوایی در فضای عمومی داخل کارگاه، بالاتر از حد تماس شغلی مجاز است و فرایند تهویه صنعتی به خوبی صورت نمی‌پذیرد (جعفری، م. ج، 1387). در حالی که کلیه سیستم‌های تهویه صنعتی طبق محاسبات دقیق و بر اساس استانداردهای روز توسط مهندسین محاسبه می‌شوند و مورد استفاده قرار می‌گیرند. لازم به یادآوری است که تهویه صنعتی به دو روش عمومی (LEV¹) و موضعی (LEV²) صورت می‌پذیرد. اساس روش LEV بر عملکرد هودهای مکنده موضعی استوار است. در حالی که وظیفه تخلیه و تعویض هوای آلوده محیط داخلی کارگاه به عهده سامانه‌های تهویه صنعتی عمومی است (جعفری، م. ج، 1387: 3) که مدنظر این مقاله است.

مطالعات نشان می‌دهد که باز بودن، بازشوهای کارگاه‌ها نیز تأثیر چندانی در فرایند تهویه ندارد. یک فرایند تهویه مؤثر عمومی، به فرایندی اطلاق می‌شود که با برقراری یک جریان هوای دائمی و آرام، تمام هوای آلوده داخلی با هوای پاک دمیده شده، جایگزین شود و این فرایند دائمی باشد. علی‌رغم تلاش‌های فراوان، در معماری سوله‌های صنعتی این فرایند اتفاق نمی‌افتد و هوای آلوده همواره در محلهای مرده، ساکن می‌ماند. این مقاله به بررسی علل این مسئله با روش CFD می‌پردازد و به دنبال تحلیل جریان هوای داخل در سوله‌های صنعتی با هدف یافتن نواحی انباست آلاینده‌ها و دلایل این انباست در فضای داخلی سوله‌هاست.



شکل ۱- توزیع سرعت به دست آمده از آزمایش اولسن در اتاق حاوی هوا

(Olsen, D. A., Glicksman, L.R., and Ferm, H. M., 1990)

جريان جابه‌جايی طبیعی در داخل يك محفظه حاوی هوا را به صورت عددی شبیه سازی کرده‌اند. هنکز و همکارانش از مدل $k - \epsilon - \theta^2$ استاندارد و چندین مدل $k - \epsilon - \theta^2$ با عدد رینولدز پایین برای شبیه سازی جريان هوا در يك محفظه مربعی با دیوارهای گرم و عدد رایلی 10^{14} استفاده کرده‌اند. نتایج حاصل از این شبیه سازی حاکی از آن است که مدل‌های $k - \epsilon$ - رینولدز پایین جواب‌های دقیق‌تری نسبت به مدل $k - \epsilon$ - استاندارد برای انتقال حرارت از دیوارها ارائه می‌کنند. لنخاست و همکارانش از مدل $k - \epsilon$ - استاندارد به همراه توابع دیوار برای شبیه سازی جريان هوا در يك اتاق با يك رادیاتور استفاده کردند. آنها از توابع دیواره برای محاسبه k و ϵ استفاده نمودند ولی برای محاسبه سرعت و دما از توابع دیواره استفاده نکردند.

عدد رایلی محفظه در مطالعات آنها حدود 3×10^{10} بود. مدل آنها پیش بینی مطلوبی از جريان متوسط انجام داده بود و با نتایج آزمایشگاهی نیز همخوانی داشت، با این حال در مدل سازی توربولنس ضعیف بود. چن از مدل‌های مختلف تنش رینولدزی (RSM) برای محاسبه جابه جایی طبیعی اجباری و توأم اتاق استفاده نمود (Chen, Q., 1996). نتایج مدل سازی‌ها نشان داد که کارآیی روش‌های مختلف RMS در شبیه سازی جريان هوا ساختمن یکسان است. نتایج مدل سازی چن با مقادیر متوسط جريان به دست آمده از اندازه‌گیری‌های تحریبی همخوانی داشت ولی مقادیر آشفتگی به خوبی پیش بینی نشده بود.

هانجالیک و همکارانش از مدل‌های سه معادله‌ای $k - \epsilon - \bar{\theta}^2$ و چهار معادله $k - \epsilon - \bar{\theta}^2 - V_1$ و مدل LRN تصحیح شده، برای محاسبه جريان هوا در

(Cheesewright, R., 1968: 1-9) دمای هسته و نوسانات آشفتگی را در يك محفظه حاوی هوا با اختلاف دما در دیوارها بررسی کرد. عدد رایلی جريان محفظه حدود 10^{10} و نسبت ابعاد محفظه ۵ به ۱ بوده است. دافا آلا^۳ و بتس^۴ (Dafa Alla, A. (A, and Bets, P. V., 1996: 165-194) جابه‌جایی طبیعی در يك محفظه بلند با نسبت منظر ۲۸ به ۰/۲ و عدد رایلی $8/3 \times 10^{10}$ را به صورت تجربی بررسی کرده‌اند، در این آزمایش از سرعت سنجی لیزر برای اندازه‌گیری سرعت و نوسانات آن و نیز از ترموموپل برای اندازه‌گیری دما و نوسانات آن استفاده شده است.

اولسن^۵ (Olsen, D. A., Glicksman, L.R., and Ferm, H. M., 1990: 640-647) در يك اتاق حاوی هوا و درون يك محفظه مدل کوچک، آزمایشی را بر جريان جابه‌جایی طبیعی هوا با عدد رایلی حدود 10^{10} انجام داده است. ابعاد اتاق حدودا به نسبت ۱ به ۳ بود. در این آزمایش جريان و دمای اندازه‌گیری شده در هسته و لایه مرزی نمایش داده شد. دو حلقة جانبی در آزمایش مشاهده گردید (تصویر ۱) که در نتایج گزارش شده وجود نداشت.

این یکی از معده‌آزمایش‌هایی است که بر روی يك اتاق با ابعاد و شرایط تقریبا واقعی انجام شده است. از نتایج این آزمایش برای اعتبار بخشی به مدل سازی‌های محققین بعدی در تحقیقات مشابه استفاده شده است (عمیدپور، م، ۱۳۸۸: ۹۱). ناگانو و تاگاوا آزمایش اولسن را با استفاده از مدل صفر معادله‌ای و مدل $k - \epsilon$ - شبیه سازی نمودند و برای اعتبار بخشی به محاسبات از نتایج آزمایش اولسن استفاده نمودند (تصویر ۱). نتایج محاسبات در هر دو مدل، مشابه بود (Nagano, Y., and Tagawa, 1990: 33-39).

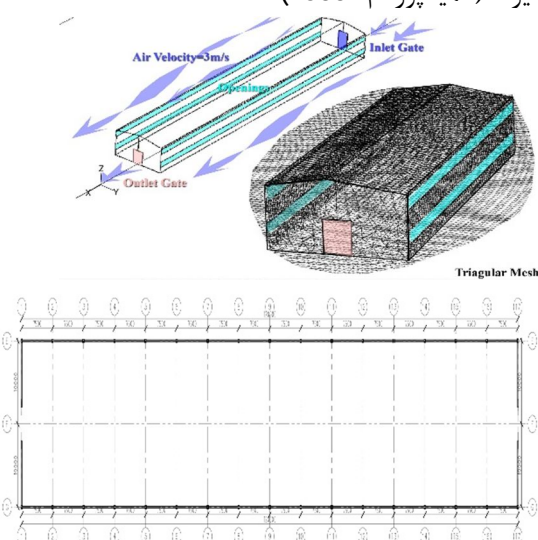
1-1- روش‌های عددی

تاکنون هنکز و همکارانش (Giel, P. W, and Schmidt, F. W., 1986: 1459-64)، لنخاست (Chen, Q., 1968: 1-9)، چن (Cheesewright, R., 1968: 1-9) و هانجالیک (Markatos, N.C., 1996: 233-244) و هانجالیک (and Pericleous, K.A., 1984: 755-772

2- روش تحقیق

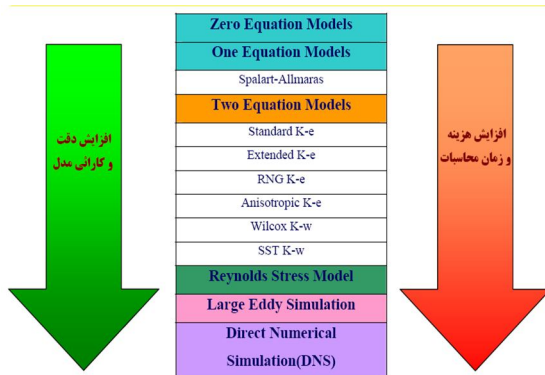
در این پژوهش، جریان هوای داخل در یک سوله صنعتی نمونه به منظور یافتن محلهای انباشت آلینده‌های هوابرد، تحلیل می‌گردد. اصلاح وضعیت معماری بر اساس نتایج این پژوهش می‌تواند موجب کاهش آلینده‌ها و تخلیه مؤثرتر هوای آلوده از محیط کار شود. دو روش برای تحلیل جریان هوای در ساختمان وجود دارد: روش‌های تجربی و شبیه سازی‌های عددی. روش‌های تجربی یا آزمایشگاهی قابل اطمینان‌ترند، ولی هزینه‌های فراوانی در پی خواهد داشت و وابسته به مکان و زمانند. (Van Loomans, M., and Mook, F., 1995).

این درحالی است که در شبیه سازی‌های عددی می‌توان به راحتی با حل معادلات فیزیکی، جریان هوای را محاسبه نمود. شبیه سازی‌های عددی در مقایسه با روش‌های آزمایشگاهی بسیار ارزان‌تر، دقیق‌تر و سریع‌تر است. با این حال در این روش نمی‌توان تمامی شرایط فیزیکی را در نظر گرفت و همواره نیاز به یک سری تقریب وجود دارد. لذا ضرورت دارد تا شبیه سازی‌های عددی توسط نتایج آزمایشگاهی اعتبار بخشی شوند. سپس به عنوان یک ابزار در تحقیق مورد استفاده قرار گیرند (عمیدپور، م..، 1388).



شکل 2- پلان سوله نمونه (بالا) و سه بعدی سوله نمونه (پایین) به همراه شبکه (TET) ایجاد شده در پیش پردازشگر Gambit. در سمت چپ (پایین) تصویر، مسیر باد و محل بازشوها به نمایش درآمده است.

ساختمان‌های مختلف خالی و پارتیشن‌بندی شده استفاده نمودند (Hanjalic, K., and Vasc, 1993). عدد رایلی در مطالعات آنها حدود 10^{12} تا 10^{10} بود که با عدد رایلی در فضاهای داخلی واقعی مطابقت دارد. نتایج دما و سرعت متوسط به دست آمده از مدل با مقادیر تجربی همخوانی مطلوبی داشت.



شکل 1- مرتب سازی مدل‌های مختلف بر اساس دقت و هزینه‌های محاسباتی برای شبیه سازی جریان هوای. مدل $k - \epsilon$ به عنوان 57 یک مدل بهینه با دقت بالا و سرعت مناسب در اکثر پروژه‌های مشابه انتخاب شده است (عمیدپور، م..، 1388)

جدول 1- مقایسه زمان محاسبه جریان هوای ساختمان توسط مدل‌های مختلف توربولانس

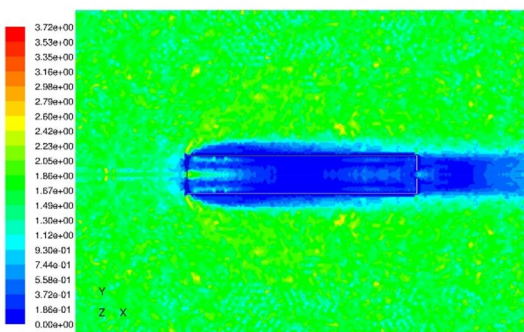
زمان محاسبات	تعداد شبکه	نام
3 ثانیه	250	روش صفر معادله ای
5 ساعت	10^4	$k - \epsilon$
6 ساعت	10^5	روش RANS متغیر
100 ساعت	10^6	LES
10 ⁵ سال	10^{11}	DNS

(عمیدپور، م..، 1388)

براساس مطالعات انجام شده بر روی شبیه سازی‌های عددی، هیچ مدل توربولانس مناسبی برای پیش‌بینی جریان هوای داخل ساختمان ارائه نشده است و نتایج به دست آمده، از مطالعات تجربی اولسن تاکنون به طور کامل و دقیق شبیه سازی نشده‌اند. در جدول 1 و تصویر 2 مقایسه‌ای بین مدل‌های مختلف توربولانس با توجه به معیارهای هزینه و زمان محاسبه ارائه شده است. بر مبنای این جدول، روش $k - \epsilon$ برای مدل سازی توربولانس، روش مناسبی به نظر می‌رسد.

اولیه کاربر در CFD و نرم افزار Fluent جهت ارزیابی بازدهی سیستم تهویه در کارخانجات صنایع غذایی که تهویه اجباری دارند، در دستور کار قرار گرفت (Chanteloup, V. & Mirade, P.S., 2008). در دهه اخیر تحقیقات مشابه بسیاری صورت پذیرفت که همگی با روش CFD و با کمک نرم افزار fluent مورد محاسبات عددی قرار گرفت (Lin, Z., Chow, T.T., Fong, K.F., Tsang, C.F., and Wang, Q., 2004 و Lau, J., and Chen, Q., 2006) و (Calay, R. و Jiang, Y., and Chen, Q., 2001) و (K., Borresen, B. A., and Hold, A.E., 2000 Naghman Khan, Su, Y., and Riffat, S. B.,) (2008).

2-2- معرفی نمونه موردی
جامعه آماری مورد بررسی در این پژوهش شامل سوله‌هایی است که جهت کارگاه‌های صنعتی مورد استفاده‌اند. در این پژوهش، انتخاب یک نمونه موردی به عنوان شرایط ثابت آزمایشگاهی مورد نیاز است. این سوله موردی در شهرک صنعتی کاوه، با ابعاد 20×120 و به ارتفاع 8 متر به صورت سقف تیزه دار با الگوی 8 (فرم شکلی سقف‌های شبیدار که خط‌الراس آن در وسط است) ساخته شده است (تصویر 3).



شکل 3- انتورهای سرعت جریان هوا در شرایط آزمون (باد از چپ به راست با سرعت 3 m/s می‌وزد) در تراز $50+ \text{ سانتی متری}$ از سطح زمین

جهت انجام فرایند تهویه صنعتی عمومی، تعدادی جتن که هوا را با سرعت 20 متر بر ثانیه به سمت خارج پرتاب می‌کند، در سقف کارگاه قرار داده شده است. مطابق تصویر 9، دریچه‌های بدون فن دیگری جهت

در این پژوهش، روش شبیه سازی عددی در نمونه موردی (یک سوله نمونه)، مورد استفاده واقع شد که با Olsen, D. A., Glicksman, L.R., and Ferm, H. M., 1990: (640-647) که در ادبیات موضوع آورده شده است، اعتبار بخشی شده است. تحلیل‌ها با کمک نرم افزار fluent انجام می‌گیرند و نتایج آن ثبت می‌گردند. روش مورد استفاده در محاسبات عددی، روش دینامیک سیال محاسباتی بود که در تحلیل‌ها و ثبت نتایج مورد استفاده است: از پیش پردازشگر Gambit به منظور مدل سازی شبکه استفاده گردید و نرم افزار Fluent نیز به منظور تحلیل شبکه‌ها مورد استفاده واقع شد.

2-1- یک مدل صفر معادله‌ای جدید برای شبیه‌سازی جریان جابه‌جایی داخل ساختمان

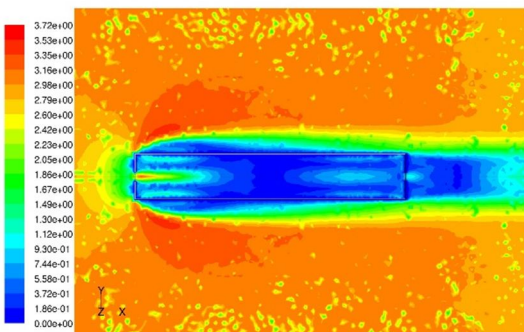
به منظور کاهش هزینه‌های محاسباتی یک مدل صفر معادله‌ای برای پیش‌بینی توزیع سرعت و دمای هوای داخل پیشنهاد می‌شود. در این مدل فرض می‌شود که ویسکوزیته گردابه‌ای تابعی از سرعت محلی و طول مقیاس است. این مدل می‌تواند بسیار سریع تر از سایر مدل‌ها، جریان جابه‌جایی آزاد، اجباری و توأم را در ساختمان محاسبه نماید.

هرچند که تحلیل‌های جریانات هوای داخل به منظور دستیابی به نقاط ضعف و قوت معماری در میان معماران عمومیت ندارند، با این حال در خصوص تحلیل رفتار سیال، تحقیقات فراوانی خصوصاً در دو دهه اخیر در سراسر جهان (چه با روش‌های تجربی و چه با شبیه‌سازی‌های عددی) انجام شده است. عمدۀ شبیه‌سازی‌های عددی با روش CFD صورت می‌پذیرند (عمیدپور، م., 1388: 91).

در سال 2006 پژوهشگران روش شبیه سازی دینامیک سیال محاسباتی (CFD) را جهت پیش‌بینی سرعت جریان هوا در یک سردهخانه صنعتی انتخابی (ویژه گوشت) به کار برندند. در این تحقیق برای شبیه سازی از نرم افزار fluent استفاده گردید که با آزمایش‌های Mirade, P.S. & Picgirard, L., 2006 (MAA)⁶ با پیش‌فرض‌های

سازی‌ها)، در معرض وزش بادی که از سمت غرب به شرق با سرعت ۳ متر بر ثانیه می‌وزد، قرار گرفت. جهت تحلیل وضع موجود، ابتدا کلیه درها و پنجره‌ها که با ابعاد واقعی شبیه سازی شده بودند، در وضعیت باز، و مکنده‌های سقفی در وضعیت خاموش فرض شدند. شبیه سازی‌های مذکور (توسط Fluent) به صورت کانتورهای سرعت باد در ترازهای ارتفاعی $50, +50, +250$ سانتی متری از سطح زمین و نیز در برش‌های طولی سوله به ترتیب در تصاویر ۴، ۵، ۶، ۷ و ۸ نشان داده شده‌اند.

تصاویر ۴ و ۵ و ۶ نشان می‌دهد که در تراز ناظر (درون سوله) نقاط بسیاری وجود دارند که در صورت وجود باد دائمی خارج، علی‌رغم باز بودن همه بازشوها هیچ گونه جریان هوایی در آنها برقرار نمی‌شود که این موجب انباست آلاینده‌های هوایبرد در درون کارگاه است. مقایسه تصاویر ۷ و ۸ نشان می‌دهد که فقط جریان ضعیف باد در مقابل درهای اصلی برقرار است که از آنجا که این سرعت قابل پیش‌بینی نیست، مشکلاتی در پی دارد. آلاینده‌ها از نیمه شرقی کارگاه به نیمه غربی آن می‌روند و در آنجا ساکن می‌شوند. خروجی‌های سقفی نیز تقریباً هیچ نقشی در تخلیه آلاینده‌ها ندارند.



شکل ۴- کانتورهای سرعت جریان هوا در شرایط آزمون (باد از چپ به راست با سرعت 3 m/s می‌وزد) در تراز $+50, +250$ سانتی متری از سطح زمین

شبیه سازی‌ها در وضعیت روشن بودن جت فن‌های سقفی و باز بودن پنجره‌ها و بسته بودن درهای اصلی با شرایط مرزی و مفروضات قبلی تکرار شدند. در این مدل فقط پنجره‌های پایینی در دیوارهای جانبی باز هستند و بقیه درها و پنجره‌ها بسته‌اند.

تخلیه هوا داخل در سقف پیش‌بینی شده‌اند که در زمان برقراری جریان باد در فضای داخل (در زمان خاموش بودن فن‌های تهویه سقفی و باز بودن درهای اصلی) مورد استفاده است. جریان باد غالب مطابق دیاگرام تصویر ۳ نمایش داده است (اندازه‌گیری شده توسط محققین با کمک دستگاه سرعت سنج باد، آزمون تجربی).

3 - یافته‌های پژوهش

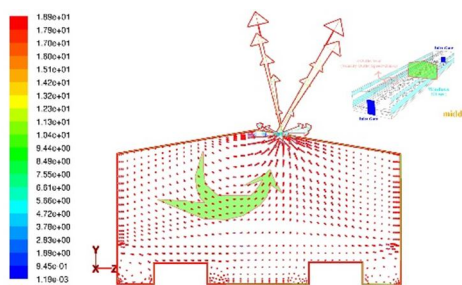
شبیه سازی سوله نمونه با روش CFD

شبیه سازی‌های پژوهش حاضر، بر اساس روش اعتبار بخشی شده ناگانو (1990) که بر مبنای تحقیق تجربی اولسن (1990) معتبر شده بود، با استفاده از یک مدل صفر معادله ای و مدل $k-\epsilon$ - k شبیه سازی گردید. عمیدپور (1388) نیز از روش مشابهی در تحقیقات خود استفاده نمود، با این تفاوت که از روش CFD و به کمک نرم‌افزار Gambit و Fluent به شبیه سازی و تحلیل گردید.

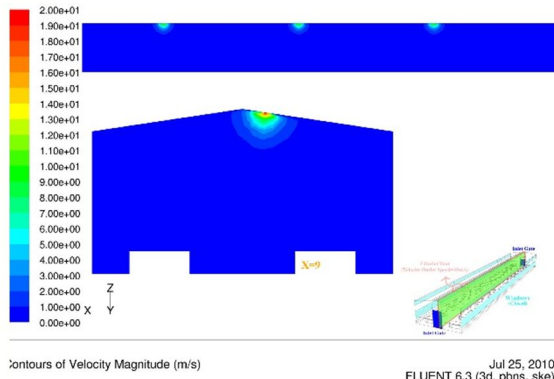
در این پژوهش نیز از روشی مشابه که بر مبنای مطالعات تجربی اولسن (1990) معتبر شده است، استفاده گردید. بر این اساس در این مرحله حجم سوله نمونه (تصویر ۳) توسط پیش‌پردازشگر شبکه بنده (mesh) شد. از شبکه چهار وجهی (TET) (mesh) شد. جهت شبکه بنده حجم مورد نظر استفاده گردید. از آنجا که ابعاد سالن اصلی ۱۲۰ در ۲۰ است، فاصله گره‌های شبکه در هر یک از اضلاع در ابتدا ۱ متر در نظر گرفته شد، با این حال نتیجه شبکه به دست آمده بسیار پیچیده شد و اصطلاحاً Skewness (چولگی) آن بسیار زیاد شد. پس از انجام محاسبات دقیق و چندین بار سعی و خطأ، سرانجام فاصله ۲ متر برای شبکه میانی و $0/5$ متری برای نواحی مجاور دیوارها، سطح زمین و سقف در نظر گرفته شد. این اعداد حداقل Skewness را برای شبکه ایجاد می‌نمود.

نواحی مجاور دیوارها با احتساب توربولنس و نیز فاصله ۲ متری گره‌های شبکه و ابعاد سالن، ۱ متر در نظر گرفته شد. شبکه مورد نظر در نرم‌افزار Fluent خوانده شد و مطابق شرایط آزمون (اعتبار بخشی به شبیه

آلاینده‌ها از فن‌های سقفی در فضای داخلی وجود ندارد و هوا به صورت بی‌برنامه از پنجره وارد شده و از بخش‌های فوقانی خارج می‌شود در حالی که در تراز ناظر هیچ حرکت مؤثری ندارد.

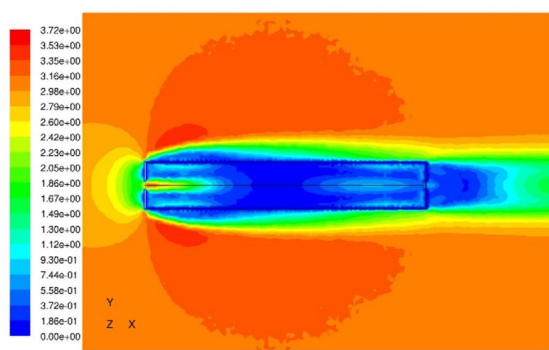


شکل 8- جریان هوای داخل در مقطع عرضی مدل کارگاه: جریان بسیار آرامی (در حد صفر) برقرار است

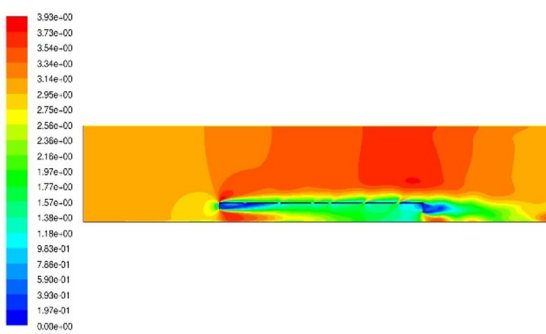


شکل 9- کانتورهای جریان هوای داخل برای مدل کارگاه زمان روشن بودن جت فن‌های سقفی: جریان هوای راکد در داخل کارگاه

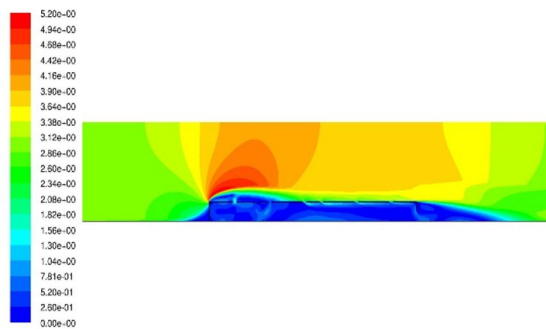
بر اساس داده‌های این بخش، شرایط جریان هوای داخل در هر دو حالت بحرانی است: در حالت اول کلیه بازشوها در شرایط باز فرض شدند و در صورت وزش باد دائمی مطلوب (بهترین شرایط تهویه طبیعی) در امتداد طولی سوله (مطابق تصاویر 4 تا 8) فقط در بخش محدودی از فضای داخلی جریان هوای برقرار است و در بسیاری از نقاط سوله، هوای راکد بوده که محل انباست آلاینده‌های هوایی است. تصاویر 7 و 8 نشان از آشفتگی جریان هوای داخل و پیدید آمدن گردابه‌های بسته هوایی دارند که همین امر موجب انتقال آلودگی از یک نقطه به سایر نقاط کارگاه است و جریانات برگشتی موجب انباست آن در فضای داخلی و انتقال آن به تمام نقاط داخلی دارند.



شکل 5- کانتورهای سرعت جریان هوا در شرایط آزمون (باد از چپ به راست با سرعت 3 m/s می‌وزد) در تراز 250 + سانتی متری از سطح زمین



شکل 6- کانتورهای سرعت جریان هوا در شرایط آزمون (باد از چپ به راست با سرعت 3 m/s می‌وزد) در برش طولی سوله که از محور F (پلان شکل 3: آکس اصلی گذرنده از وسط دروازه‌ها) می‌گذرد.



شکل 7- کانتورهای سرعت جریان هوا در شرایط آزمون (باد از چپ به راست با سرعت 3 m/s می‌وزد) در برش طولی سوله که از فاصله 3 متری محور F در شمال و جنوب (پلان شکل 3: طرفین دروازه‌ها) می‌گذرد.

همانند شرایط واقعی فقط سه هواکش سقفی با فن‌های روشن پیش بینی شد و باقی مانده‌ها پس از 1900 تکرار همگرا گشتند. لازم به یادآوری است که سرعت پرتاب هوا به خارج، از طریق هواکش‌ها 20 متر بر ثانیه فرض شد (تصاویر 9 و 10). شبیه سازی‌ها نشان می‌دهند که هیچ جریان هوای مؤثری به منظور تخلیه

4 - نتیجه گیری

در حالت دوم که بازشوها بسته فرض شدند و سیستم‌های سقفی تهویه صنعتی در حالت روشن قرار گرفتند، با باز بودن پنجره‌های جانبی جریان هوای داخل فقط در زیر سقف برقرار است. این امر بدین معنی است که مکنده‌های سقفی، جریان هوای از پنجره‌های جانبی در مجاورت دیوارها به سمت بالا هدایت کرده و از زیر سقف به سمت مکنده‌ها می‌برند. بدین ترتیب هیچ جریان مؤثر هوایی در داخل کارگاه برقرار نشد و همان‌طور که در تصاویر 9 و 10 نشان داده شده است، هوا در فضای داخلی کارگاه کاملاً راکد بوده است و صرفاً انباشت آلاینده‌ها را دربی دارد.

صنعتی بر اساس متغیرهای مستقل معماری پیشنهاد نشده است و عموماً معماران به دلیل نداشتن دانش محاسباتی کافی از اظهار نظر در این زمینه خودداری نموده‌اند. به هر حال برای پیش‌بینی جریان هوای داخل به منظور بهینه سازی فرایند تهویه صنعتی تحت تأثیر عوامل معماری، تحلیل آن ناگزیر است.

شبیه سازی‌ها نشان دادند که جریان هوای داخل در هر دو حالت آزمون این پژوهش، بسیار آشفته و غیر قابل پیش‌بینی بوده و در تراز ناظر در فضای داخلی کارگاه‌های صنعتی انباشت آلاینده‌ها را در پی دارد. در شرایطی که از تهویه طبیعی و اثر باد خارج جهت فرایند تهویه صنعتی عمومی استفاده می‌شود، روش نیا خاموش بودن دستگاه‌ها عمل تفاوتی ندارد. زیرا تخلیه هوای آلوده داخل به کمک جت فن‌های سقفی، غیر ممکن است و هوای جایگزین بدون برنامه بوده و همان باد خارج است که مستقیماً به زیر سقف می‌زند و از فن‌های سقفی خارج می‌شود.

در صورت خاموش بودن جت فن‌های سقفی نیز نتیجه تغییر نمی‌کند. زیرا جریان هوای خارج بدون برنامه وارد شده و از سوی فضای زیر سقف به سمت دیگر کارگاه هدایت می‌شود. بدین ترتیب بخش زیادی از هوای فضای داخلی سوله، همچنان راکد بوده و محل انباشت آلودگی‌های مختلف است. در شرایط روشن بودن فن‌های سقفی و بسته بودن درهای اصلی کارگاه باز مشاهده می‌گردد که جریان هوای داخل در زیر سقف برقرار است و تأثیری در تخلیه مؤثر آلاینده‌ها ندارد. بدین ترتیب ملاحظه می‌گردد که در هر دو حالت، تنها راه برای تخلیه مؤثر هوای آلوده از داخل کارگاه، مداخله در متغیرهای مستقل معماری سوله بوده، چنان که بتوانند جریان مؤثر هوا را در فضای داخل کارگاه برقرار نمایند.

پیشنهاد می‌گردد که نقاط تأمین هوای جایگزین در زیر کف کارگاه باشد، که در این صورت با بسته بودن پنجره‌های جانبی، جریان مؤثرتری برقرار خواهد شد که این خود زمینه‌ای برای تحقیقات آتی به حساب می‌آید.

به منظور حفظ سلامت کارکنان در ساختمان‌های صنعتی، ضرورت دارد تا غلظت آلاینده‌های هوای از حد مجاز تجاوز ننماید. در این زمینه استانداردهای متعددی تهیه شده که هر ساله به روز می‌گردند. بر این اساس پیش‌بینی یک سامانه مناسب به منظور انجام فرایند تهویه صنعتی مؤثر مورد تأکید فراوان قرار گرفته است. تحقیقات نشان می‌دهند که علی‌رغم استانداردهای متعدد و قوانین صریح، فرایند تهویه صنعتی در کارخانجات به خوبی صورت نمی‌پذیرد و بازدهی لازم را ندارد.

از سویی نیز این مطلب دریافت می‌شود که پیش‌بینی جریانات هوای داخل به منظور ایجاد شرایط آسایش برای کاربران فضاهای معماری و خصوصاً ساختمان‌های صنعتی اهمیت فراوان دارد. بر اساس مطالعات صورت گرفته می‌توان دریافت که جهت کنترل غلظت آلاینده‌ها در فضاهای صنعتی بسته، لازم است تا جریانات هوای داخل تحت کنترل باشند. لذا پیش‌بینی مسیر جریانات هوای داخل، فرایند تهویه صنعتی عمومی را تسهیل می‌نماید.

مطالعات این پژوهش نشان می‌دهد که عمدت تحقیقات صورت گرفته برای بهینه نمودن سیستم‌های تهویه، در مورد اجزای مکانیکی آن بوده است و عمدتاً جنبه محاسباتی و تحلیلی داشته‌اند. با این حال معیاری برای پیش‌بینی جریان هوای داخل در فضاهای بسته

پی نوشت

¹ General Exhaust (dilution) Ventilation

² Local Exhaust Ventilation

³ DafaAla

⁴ Bets

⁵ Olsen

⁶ Middle Age of Air

منابع

جعفری، م. ج. (1387) تهویه صنعتی. تهران: انتشارات فدک ایساتیس

شجاعی فرد، م. و همکاران (1381) راهنمای نرم افزارهای Fluent و Gambit. تهران: انتشارات دانشگاه علم و صنعت

عمیدپور، م. (1388) بررسی اثرات استفاده از بخاری‌های بدون دودکش بر روی کیفیت هوای داخل، پروژه تحقیقاتی، دانشگاه خواجه نصیرالدین طوسی، دانشکده مکانیک. کارفرما: شرکت بهینه سازی مصرف سوخت ایران.

Calay, R. K., Borresen, B. A. and Hold, A. E. (2000) "Selective ventilation in large enclosures", Energy and Buildings, 32 (2000): 281–289, 2000 Elsevier Science S.A.

Chanteloup, V. & Mirade, P.S. (2008) "Computational fluid dynamics (CFD) modelling of local mean age of air distribution in forced-ventilation food plants", Journal of Food Engineering, 90 (2009): 90–103, 2008 Elsevier Ltd.

Cheesewright, R. (1968) "turbulent natural convection from a vertical plane surface", journal of heat transfer, Transaction of ASME: 1-9

Chen, Q. (1996) "Prediction of room air motion by Reynolds-Stress models", Building and Environment, no. 31: 233-244

Dafa Alla, A.A. and Bets, P.V. (1996) "Turbulent natural convection in a tall cavity", Experimental heat transfer, no. 9: 165-194

Elder, J.W. (1965) Turbulence free convection in a vertical slot, J. Fluid Mech, report 23: 99-111

Giel, p. w. and Schmidt, F. W. (1986) "all experiment study of high Rayleigh number natural convection". In: an enclosure proceeding of the 8th International heat transfer conference, vol

4:1459-1464

Hanjalic, K., and Vasc (1993) "computation of turbulent natural convection in rectangular enclosure with algebraic flux model", Int.J. Heat Mass Transfer, no. 36: 3603-3624

Jiang, Y. and Chen, Q. (2001) "Study of natural ventilation in buildings by large eddy simulation", Journal of Wind Engineering and Industrial Aerodynamics, 89 (2001): 1155–1178, 2001 Elsevier Science Ltd.

Lau, J., and Chen, Q. (2006) "Energy analysis for workshops with floor-supply displacement ventilation under the U.S. climates", Energy and Buildings, 38 (2006): 1212–1219. 2006 Elsevier B.V.

Lin, Z., Chow, T.T., Fong, K.F., Tsang, C.F., and Wang, Q. (2004) "Comparison of performances of displacement and mixing ventilations, Part II: indoor air quality", International Journal of Refrigeration, 28 (2005): 288–305, 2004 Elsevier Ltd and IIR.

Loomans, M. and mook, F. van (1995) Survey on measuring indoor airflows FAGO, report 95.25.W., Eindhoven University of technology Sweden.

Markatos, N.C. and Pericleous, K.A. (1984) "Laminar and turbulent natural convection in enclosed cavity", Int. J. Heat mass transfer, vol 27, no. 5: 755-772

Mirade, P.S. & Picgirard, L. (2006) "Improvement of ventilation homogeneity in an industrial batch-type carcass chiller by CFD investigation", Food Research International, 39 (2006): 871–881, 2006 Elsevier Ltd.

Nagano, Y., and Tagawa (1990) "An improved k-ε model for Boundary layer flows", J. Fluid Engng Asme Trans, 112: 33-39

Naghman Khan, Su, Y., and Riffat, S. B. (2008) "A review on wind driven ventilation techniques", Energy and Buildings, 40 (2008): 1586–1604, 2008 Elsevier B.V.

Olsen, D. A., Glicksman, L.R., and Ferm, H. M. (1990) "Steady state natural convection in a empty and partitioned enclosure at high Rayleigh numbers", J. Heat Transfer, Trans. ASME 112: 640-647.

